

مدل‌سازی تصفیه الکتروشیمیایی فنل و پیش‌بینی میزان مصرف انرژی

نجمه خبازی^۱

سوسن روشن ضمیر^۲

(دريافت ۹۰/۱/۳۰)

آخرین اصلاحات دريافتی ۹۱/۴/۱۷

پذيرش ۹۱/۶/۲۶

چکیده

فنل آلائینده‌ای سرسخت در مقابل تصفیه‌های فيزيکی-شیمیایی و بیولوژیکی است که در پساب بسیاری از صنایع وجود دارد و به شدت محیط زیست را به خطر می‌اندازد. لذا، فرایندهای اکسایش پیشرفت‌به عنوان فرایندهای موثر برای تصفیه پساب‌های دارای آلائینده‌های سمی و الائینده‌های آلی مقاوم توسعه یافته‌اند. هدف از این تحقیق ارائه یک مدل ریاضی برای اکسایش الکتروشیمیایی فنل با توجه به تغییرات COD با زمان در راکتور ناپیوسته بود. در این مدل با توجه به نسبت دانسیته جریان عملی به دانسیته جریان حدی، رژیم‌های عملیاتی مختلفی برای کنترل فرایند در نظر گرفته شد. به این ترتیب که در دانسیته جریان پایین و غلظت اولیه بالا، به گونه‌ای که شرایط فرایند همواره پایین‌تر از شرایط حدی باشد، COD با زمان به صورت خطی کاهش می‌یابد و فرایند توسط جریان کنترل می‌گردد اما در دانسیته جریان‌های بالاتر از شرایط حدی و غلظت کم آلائینده، فرایند تحت کنترل انتقال جرم است که در این رژیم COD به صورت نمایی با زمان تغییر می‌کند. پارامترهای مدل عبارت‌اند از دانسیته جریان، غلظت اولیه فنل و مساحت الکترود. با توجه به اهمیت مقدار انرژی الکتریکی مورد نیاز، محاسبه میزان مصرف انرژی فرایند اکسایش COD به صورت اولیه نشان می‌دهد که افزایش دانسیته جریان و پتانسیل عملی منجر به افزایش میزان مصرف انرژی الکتریکی می‌گردد و با کاهش غلظت اولیه فنل میزان مصرف انرژی نیز کاهش می‌یابد. در بخش اعتبارسنجی مدل، نتایج حاصل از مدل با مقادیر آزمایشگاهی ارائه شده در منابع مورد مقایسه قرار گرفتند. تطابق خوبی بین نتایج تجربی و پیش‌بینی شده از مدل در همه شرایط آزمایشگاهی با محاسبه ریشه متوسط مربعات خطای RMSE (در محدوده ۰/۱ تا ۰/۲۲) و ضریب تعیین بالاتر از ۰/۹۱ مشاهده شد.

واژه‌های کلیدی: مدل‌سازی ریاضی، تصفیه پساب‌های فنلی، دانسیته جریان حدی، COD، مصرف ویژه انرژی

Modeling of Electrochemical Treatment of Phenol and Prediction of Specific Energy Consumption

Najmeh Khabazi¹

Soosan Rowshanzamir²

(Received Apr. 18, 2011)

Revised July 7, 2012

Accepted Dec. 21, 2011

Abstract

Phenol belongs to the recalcitrant pollutants to conventional physical chemical and biological treatments. These compounds are released in the surface water by a considerable number of industries, constituting an environmental hazard. On the other hand, the advanced oxidation processes (AOPs) have been defined as effective processes for treatment of wastewater containing toxic and persistent organic pollutants. In this work, a mathematical model is developed to quantify the variation of chemical oxygen demand (COD) as a function of time during electrochemical oxidation of phenol for a batch system. Depending on applied current density (i_{app}) with respect to limiting current density (i_{lim}), which decreased during treatment, different operating regimes were identified. In particular, for high organic concentrations or low current densities ($i_{app} \ll i_{lim}$), COD decreased linearly over time, indicating a kinetically controlled process. Conversely, for low organic concentrations or high current densities, electrolysis was under mass-transport control and COD removal followed an exponential trend. Model parameters were: current density, initial phenol concentration and electrode area. The present purpose is to use the model as a design tool for the prediction of specific energy consumption for the elimination of a given organic loading (kg COD h^{-1}). The results showed that the increase of

1. Grad. M.Sc. Student, School of Chemical Eng., Iran University of Science and Tech., Tehran

1- دانش آموخته کارشناسی ارشد، دانشکده مهندسی شیمی، دانشگاه علم و صنعت ایران،
تهران

2. Assoc. Prof., School of Chemical Eng., Iran Univrvsity of Science and Tech., Tehran (Corresponding Author) (+98 21) 77491242
rowshanzamir@iust.ac.ir

2- دانشیار، دانشکده مهندسی شیمی، دانشگاه علم و صنعت ایران، تهران (نویسنده
مشهول) rowshanzamir@iust.ac.ir (۰۲۱) ۷۷۴۹۱۲۴۲

density and applied potential caused increase of specific energy consumption of initial phenol concentration decrease in energy consumed . In the mathematical model validation, the model results were compared with experimental results published in the literature. The good agreement between experimental and model predicted data was obtained in all the examined conditions by accounting root mean square error (RMSE) between 0.013-1.22 and $R^2 > 0.91$.

Keywords: Mathematical Modeling, Phenolic Wastewater Treatment, Limiting Current Density, COD, Specific Energy Consumption.

انجام می‌گیرد و سل الکتروشیمیابی مانند یک راکتور مخزنی همزن دار رفتار می‌کند. اکسایش متولی اسیدهای کربوکسیلیک نهایتاً دی اکسیدکربن را حاصل می‌کند. همچنین فرض شده است برخی مواد پلیمری نیز شکل می‌گیرند [۵]. در دو مدلی که توضیح داده شد معادلات سینتیکی از نوع درجه اول فرض شده‌اند و برای محاسبه پارامترهای معادلات، روش رگرسیون چند متغیره بر اساس الگوریتم حداقل مربعات مورد استفاده قرار گرفته است که برای هر آزمایش، تطابق خوبی بین داده‌های آزمایشگاهی و مدل به دست آمده است. پانیزا و همکاران در سال ۲۰۰۱، آنالیز تصوری برای پیش‌بینی میزان مصرف انرژی ویژه و سطح مورد نیاز الکترود برای اکسایش الکتروشیمیابی ترکیبات آلی روی فیلم نازکی از الکترود BDD^1 در نظر گرفته‌اند. مدل برای راکتور الکتروشیمیابی ناپیوسته که به صورت اختلاط کامل و تحت شرایط گالوانواستاتیک عمل می‌کند، به دست آمده است. روابط مربوط به انرژی و سطح الکترود، در محدوده درصد تبدیل‌های کمتر و بیشتر از درصد تبدیل بحرانی (X_{cr}) بیان می‌شوند [۶].

مدل دیگری نیز توسط کانیزرز و همکاران در سال ۲۰۰۴ پیشنهاد شده است که رویکرد ریاضی جدیدی را برای تصفیه الکتروشیمیابی پسابهای آغشته به مواد آلی روی الکترودهای فعال و غیرفعال بررسی نموده است. فرض مهم این مدل تقسیم راکتور الکتروشیمیابی به سه ناحیه است (دو ناحیه نزدیک به الکترود (ناحیه الکتروشیمیابی) و ناحیه بالک (ناحیه شیمیابی)). به گونه‌ای که راکتور را می‌توان به صورت سه راکتور مخزنی همزن دار سری در نظر گرفت. با این تقسیم‌بندی، در هر سه ناحیه غاظت هر جزء مستقل از مکان در نظر گرفته می‌شود و تنها واپسی به زمان است. با این فرضیات ساده‌شونده پروفیل غاظت هر ترکیب، از سیستم پیچیده‌ای شامل معادلات دیفرانسیل پاره‌ای (که از موازنی جرم به دست می‌آید) به یک سیستم ساده‌تر، شامل معادلات دیفرانسیل معمولی تبدیل می‌گردد [۳ و ۷]. در تحقیق دیگری، مasha و همکاران در سال ۲۰۰۶، مدل ریاضی واکنش نفوذ که از لحاظ فیزیکی سازگار و پایدار است را به منظور پیش‌گویی عددی اکسایش الکتروشیمیابی ترکیبات آلی روی آندهای BDD گسترش

۱- مقدمه

حذف آلوده‌کننده‌های آلی پر خطر از آبهای زیرزمینی و پساب یکی از موضوعات اصلی و ضروری در تحقیقات محیط‌زیست است. فنل و ترکیبات فنلی نیز به عنوان آلوده‌کننده‌های پر خطر شناسایی شده‌اند که بسیاری از فرایندهای صنعتی مانند پالایشگاههای نفت، کارخانه‌های پلاستیک، کاغذ، ترکیبات شیمیابی، آفتکش‌ها و تبدیل زغال‌سنگ سهم بسیاری در ایجاد آن دارند [۱]. تکنولوژی‌های مختلفی به منظور تصفیه این پسابها مورد بررسی قرار گرفته‌اند که از آن میان می‌توان تصفیه بیولوژیکی، استخراج و اکسایش از ن اشاره کرد که در میان فرایندهای موجود، اکسایش الکتروشیمیابی به علت سازگاری با محیط زیست، کارایی بالا، عملیات آسان، اینمی، بازدهی انرژی و کاربرد گسترده، به عنوان یک تکنولوژی خوب زیست محیطی پیشنهاد می‌شود [۲].

توضیح فرایندهایی که در یک سیستم فیزیکی اتفاق می‌افتد با روابط و مدل‌های ریاضی، مسیر و رویکرد مناسبی است زیرا چنین مدلی می‌تواند فرضیاتی که مدل بر پایه آن بنا شده است را تأیید کند. در راه رسیدن به این هدف چندین مدل در سالهای اخیر برای توضیح تصفیه الکتروشیمیابی پسابهای حاوی ترکیبات آلی توسعه یافته است [۳]. یکی از مناسب‌ترین مدل‌ها برای این فرایندها توسط پالکرو و همکاران در سال ۱۹۹۹ پیشنهاد شده است که اکسایش الکتروشیمیابی پسابهای شامل کلروفنل‌ها را در سیستم ناپیوسته توضیح می‌دهد. این مدل با فرض این که اکسایش توسط رادیکال‌های هیدروکسیل به صورت غیرمستقیم و طی سه مرحله برگشت‌ناپذیر انجام می‌گیرد، بیان شده است. با در نظر گرفتن معادلات سینتیکی و استوکیومتری واکنش برای هر یک از ترکیبات واسطه‌ای موجود در فرایند، مجموعه‌ای از معادلات دیفرانسیل به دست آمده است که در آن واکنش‌های کلی با سینتیک‌های درجه اول و ثوابت سرعت ظاهری و واقعی توضیح داده شده‌اند [۴]. در بررسی دیگر دومینگز و همکاران در سال ۱۹۹۹ مدلی برای توضیح تصفیه پسابهای حاوی فنل به صورت ترکیبی از اکسایش الکتروشیمیابی و جذب سطحی در راکتور ناپیوسته شامل دو ماده آندی (استیل و کربن فعال) معرفی کرده‌اند. در این مدل فرض شده است که اکسایش به طور همزمان روی سطح الکترود (اکسایش مستقیم) و در محلول بالک (توسط رادیکال‌های هیدروکسیل)

^۱ Boron-Doped Diamond (BDD)

۱- مدل برای عملیات راکتور الکتروشیمیایی در حالت ناپیوسته و شرایط گالوانوستاتیک در نظر گرفته شده است.

۲- در توضیح مدل دو نوع رفتار مختلف در نظر گرفته شده است که به شرایط حدی سیستم وابسته است.

۳- در این مدل فرض شده است احتراق و اکسایش کامل مواد آلی در تصفیه پساب رخ می‌دهد.

۴- در این مدل فرض شده است فرایندهای اکسایش واسطه‌ای قوی و واکنش‌های الکتروشیمیایی در ناحیه‌ای بسیار نزدیک به سطح الکترود آند (ناحیه آندی) رخ می‌دهد.

۵- در این مدل اکسایش آلاینده آلی فنل در بالک الکتروولیت، با اکسیدهایی غیر از OH^* که به صورت الکتروشیمیایی تولید می‌شوند، نظیر H_2O_2 , O_3 , $\text{H}_2\text{S}_2\text{O}_8$, Cl_2 و پروکسودی‌سولفات مدنظر نیست.

فرضیه‌های ۴ و ۵ را می‌توان این‌گونه تعبیر کرد: مطابق طبیعت واسطه‌های واکنش، اکسایش بسیار شدید در ناحیه واکنش از طریق انتقال مستقیم الکترون در سطح آند یا توسط رادیکال‌های هیدروکسیل یا هر اکسیدهای دیگری که به صورت الکتروشیمیایی روی آند تولید می‌شوند، انجام می‌گیرد. همه واکنش‌ها به عنوان واکنش‌های مستقیم در نظر گرفته می‌شوند. از طرفی در شرایط خاصی مانند دانسیته جریان‌های بالا با توجه به محدودیتهای انتقال جرم، رادیکال‌های هیدروکسیل به علت عدم پایداری، واکنش‌های جانبی مانند رهایش اکسیژن یا تشکیل عوامل اکسیدهای نظیر ازن، پراکسید هیدروژن، پروکسودی‌سولفات، کلرین و پروکسودی‌سولفوریک را موجب می‌شوند که این واسطه‌ها می‌توانند به صورت شیمیایی با ترکیبات آلی در ناحیه بالک طی فرایندهای اکسایش واسطه‌ای واکنش دهنده اما با توجه به این‌که این نوع واکنش به میزان بسیار جزیی انجام می‌گیرد و این اجزای اکسیدهای در ناحیه بالک طی آنالیز سیستم شناسایی نمی‌شوند بنابراین فرض این که در ناحیه بالک، واکنش‌های اکسایش واسطه‌ای در نظر گرفته نشود می‌تواند منطقی باشد. لذا این‌گونه نتیجه‌گیری شد که هیچ فرایند واسطه‌ای در ناحیه بالک رخ نمی‌دهد و بخش عمده واکنش‌های اکسایش مستقیم توسط رادیکال‌های هیدروکسیل یا هر اکسیدهای دیگری باید در ناحیه الکتروشیمیایی (نزدیک به سطح الکترود) انجام گیرد.

۲-۲- مکانیسم اکسایش ترکیبات آلی (فنل) در مدل پیشنهادی واکنش‌هایی که در این مدل برای تصفیه الکتروشیمیایی پساب‌های آلی در نظر گرفته شد، به صورت زیر است:

واکنش‌های آند:

۱- تجزیه آب به صورت رادیکال‌های هیدروکسیل:

داده‌اند. مدل، واکنش‌های الکتروشیمیایی و شیمیایی را در نظر می‌گیرد و پدیده‌های انتقال درگیر در فرایند را نیز لحاظ می‌کند. با حل عددی معادلات مدل به وسیله روش تفاضل محدود^۱ چگونگی روند تغییرات غلظت واکنشگر، واسطه‌های واکنش و ترکیبات قابل اکسایش مشخص می‌گردد و همچنین پروفیل فضایی آنها در راکتور نیز به دست می‌آید [۸].

تحقیق داخلي کارهای آزمایشگاهی مختلفی برای حذف فنل از محلولهای آبی انجام داده‌اند. جمشیدی و همکاران از اکسیداسیون فتوشیمیایی پیشرفته، عالمزاده و همکاران از پراکسیداز ترب کوهی ثبت شده و ملکوتیان و اسدی از فرایند اکسیداسیون فنتون برای حذف فنل در مقیاس آزمایشگاهی استفاده کردند [۹، ۱۰ و ۱۱]. اما تحقیق داخلي کمتر به مدل سازی فرایند حذف فنل پرداخته‌اند. لذا در این تحقیق نیز تصفیه الکتروشیمیایی فنل از پساب، با توجه به کاهش غلظت COD مدل شد. واضح است که در هر سیستم ناپیوسته کاهش میزان آلودگی مواد آلی باید تا حد قابل قبول استاندارد باشد. توجه به این نکته ارزشمند است که زمان اکسایش یا شار بار عبوری برای فرایند تصفیه الکتروولیتیکی پساب در حالت ناپیوسته از مهم‌ترین پارامترهای عملیاتی است. روابطی از نحوه تغییرات COD با زمان تحت رژیم‌های عملیاتی مختلف، در نظر گرفتن واکنش کامل اکسایش الکتروشیمیایی فنل و نوشتمن موازن‌هه جرم به دست آمد. از نوآوری‌های مدل ارائه شده این است که در آن رابطه‌ای از میزان مصرف انرژی با زمان بیان شده است که شامل پارامترهای دانسیته جریان، پتانسیل عملی و غلظت آلاینده است. مزیت اصلی این مدل این است که در آن پارامتر قابل تنظیم وجود ندارد. با توجه به ریشه متوسط مربعات خطای کمتر از ۱/۵ و ضریب تعیین بیشتر از ۹۱/۰ می‌توان گفت تطابق خوبی بین مقادیر محاسبه شده از مدل و داده تجربی در محدوده وسیعی از شرایط آزمایشگاهی وجود دارد و بیانگر این است که مدل ارائه شده، رفتار سیستم را به خوبی پیش‌بینی می‌کند.

۲- مدل ریاضی

مدل نظری به منظور پیش‌بینی COD طی اکسایش الکتروشیمیایی آلاینده‌های آلی در یک راکتور ناپیوسته و تحت شرایط گالوانوستاتیک توسعه یافت، به گونه‌ای که به خوبی مصرف انرژی را نیز طی فرایند برآورد نمود.

۲-۱- فرضیه‌های مدل

فرضیه‌های اصلی به منظور توسعه مدل برای احتراق آندی ماده آلی فنل به صورت زیر است:

^۱ Finite element

تعداد الکترون‌های مبادله شده ($28\bar{e}$)، ثابت فارادی (F) و ضریب انتقال جرم متوسط در سل (کتروشیمیایی) بر حسب متر بر ثانیه است.

در شرایط اکسایش الکتروشیمیایی مخلوطی از ترکیبات آلی یا پسابهای واقعی، محاسبه این معادله آسان نیست. بنابراین ترجیح داده می‌شود که دانسیته جریان حدی از مقدار کلی (COD) تخمین زده شود زیرا به این ترتیب اکسایش همه ترکیبات موجود در پساب نیز در نظر گرفته می‌شود.

از روابط ۷، ۸، رابطه ۹ به دست می‌آید که در آن دانسیته جریان حدی برای معدنی کردن مواد آلی به COD الکتروولیت ارتباط پیدا می‌کند

$$i_{lim} = 4Fk_m COD \quad (9)$$

به این ترتیب دیده می‌شود دانسیته جریان حدی تنها به COD ($\frac{mol O_2}{m^3}$) و شرایط هیدرودینامیک وابسته است. با کار کردن تحت شرایط گالوانوستاتیک، برای رسیدن به معادلاتی که فرایند اکسایش سیستم را توضیح دهد، با توجه به وابستگی دانسیته جریان عملی (i_{apply}) به دانسیته جریان حدی (i_{lim}) که طی تصفیه کاهش می‌یابد، می‌توان دو رژیم عملیاتی مختلف تعیین کرد: یکی کنترل جریان ($i < i_{lim}$) و دیگری کنترل انتقال جرم ($i > i_{lim}$). [۱۳]

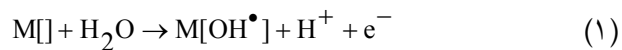
۱- رژیم کنترل جریان ($i < i_{lim}$): دانسیته جریان عملی کمتر از دانسیته جریان حدی است. این رژیم در شرایطی است که جریان عملی کم و یا غلظت مواد آلی بسیار زیاد باشد. اکسایش تحت کنترل جریان (سینتیک) است و واسطه‌های آلی در طول اکسایش شکل می‌گیرند و همه اجزا در سطح الکتروولیت، غلظتی غیر از صفر دارند. COD به صورت خطی با زمان تغییر می‌کند و فرایند توسط جریان کنترل می‌گردد یعنی جریان محدودکننده است.

آهنگ حذف COD را می‌توان با در نظر گرفتن موازنۀ جرم روی سل الکتروشیمیایی به صورت رابطه ۱۰ تعریف نمود

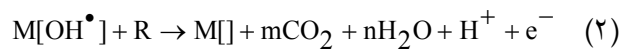
$$V_R \frac{dCOD}{dt} = -rA \quad (10)$$

طبق قانون فارادی: $r = \frac{i}{nF}$ که در اینجا n برابر ۴ است.

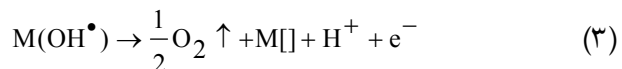
$$i = \alpha i_{lim}^\circ \rightarrow r = \frac{\alpha i_{lim}^\circ}{4F} \quad (11)$$



- اکسایش ترکیبات آلی ® با رادیکال‌های هیدروکسیل که به صورت الکتروشیمیایی تولید شدند (واکنش اصلی):



- رهایش اکسیژن (واکنش جانبی)



که در این روابط

[] مشخص کننده مکان فعال روی سطح آند است.

واکنش کاتد:

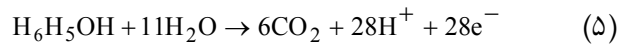
رهایش هیدروژن



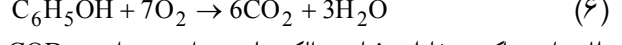
در مورد آلاینده فل که در این تحقیق مورد بررسی قرار گرفت، مدل همچنین فرض کرده است که احتراق الکتروشیمیایی فل، یا توسط رادیکال‌های هیدروکسیل که به صورت الکتروشیمیایی تولید می‌گردد و یا انتقال مستقیم الکترون انجام می‌شود که هر دو رابه عنوان واکنش‌های مستقیم در نظر می‌گیرد [۱۲].

۳-۲- توسعه روابط مدل

ابتدا واکنش تجزیه فل به CO_2 و H_2O نزدیک سطح الکتروولیت در نظر گرفته می‌شود



اگر در روابط، ارتباط غلظت آلاینده با COD از الکتروولیت مدنظر باشد، استوکیومتری واکنش فل با اکسیژن این ارتباط را مشخص می‌کند. در حقیقت استوکیومتری احتراق فل نشان می‌دهد که ۷ مول از O_2 برای اکسایش کامل فل به CO_2 و H_2O نیاز است.



مطابق این واکنش غلظت فل در الکتروولیت را می‌توان به COD

$$\left(\frac{mol O_2}{m^3} \right) \text{ توسط رابطه زیر نسبت داد}$$

$$[C_6H_5OH] = \frac{COD}{7} \quad (7)$$

تحت این شرایط دانسیته جریان حدی برای اکسایش الکتروشیمیایی فل به وسیله رابطه زیر به دست می‌آید

$$i_{lim} = nFk_m [C_6H_5OH] \quad (8)$$

که در این رابطه

که با جایگزینی COD_{cr} از رابطه بالا در رابطه ۱۴، روابط ۱۸ و ۱۹ حاصل می‌شود

$$t_{cr} = \frac{1-\alpha}{\alpha} \frac{V_R}{Ak_m} \quad (18)$$

$$Q_{cr} = i_{lim}^{\circ} \frac{(1-\alpha)}{k_m} \quad (19)$$

۲- رژیم کنترل انتقال جرم ($i > i_{lim}$) : دانسیته جریان عملی بیشتر از دانسیته جریان حدی است. این رژیم برای حالتی است که جریان به کار گرفته زیاد و یا غلظت مواد آلی کم باشد که آهنگ تخریب اجزا توسط انتقال جرم از بالک محلول به سطح الکترود کنترل می‌شود جایی که همه غلظتها صفر هستند و ترکیبات آلی به طور کامل به CO_2 تبدیل می‌شوند. در این رژیم، حذف COD به علت محدودیتهای انتقال جرم به صورت نمایی است. در این حالت تنها جزیی از جریان عملی، که به اندازه جریان حدی است، برای واکنش استفاده می‌شود و بقیه جریان، برای واکنش‌های جانبی مصرف می‌گردد [۶].

$$r = \frac{i}{nF} \xrightarrow{n=4} r = \frac{i_{lim}}{4F} = k_m COD \quad (20)$$

$$V_R \frac{dCOD}{dt} = -rA \rightarrow \frac{dCOD}{dt} = -\frac{Ak_m COD}{V_R} \quad (21)$$

با انتگرال‌گیری از رابطه ۲۱ از t_{cr} تا t

$$\begin{cases} COD = COD_{cr} & \text{at } t_{cr} \\ COD = COD(t) & \text{at } t \end{cases} \quad (22)$$

$$COD(t) = COD_0 \exp \left(-\frac{Ak_m}{V_R} t + \frac{1-\alpha}{\alpha} \right) \quad \text{رابطه بر حسب } Q$$

$$COD(t) = COD_0 \exp \left(\frac{-k_m}{i} Q + \frac{1-\alpha}{\alpha} \right) \quad (23)$$

۴-۲- مصرف ویژه انرژی

مصرف انرژی بر حسب زمان برای حذف واحد جرم COD از پساب با استفاده رابطه زیر به دست می‌آید [۱۴]

$$\text{Energy consumption} \left(\frac{kWh}{kg COD} \right) = \frac{(IV_{ct}) / 10^3}{V_R \Delta COD / 10^6} \quad (24)$$

که در این رابطه $\alpha, (i < i_{lim})$ و برای این رژیم که $(i > i_{lim})$ همواره بین صفر و یک است ($0 < \alpha < 1$).

با جایگذاری رابطه (۹) در آغاز اکسایش ($t = 0$) و مقدار اولیه COD که دانسیته جریان حدی اولیه (i_{lim}°) را به دست می‌دهد در رابطه بالا، رابطه ۱۲ حاصل می‌شود

$$r = \alpha k_m COD_0 \quad (12)$$

از ترکیب روابط ۱۰ و ۱۲، رابطه ۱۳ به دست می‌آید

$$\frac{dCOD}{dt} = -\frac{\alpha COD_0 Ak_m}{V_R} \quad (13)$$

با انتگرال‌گیری از این معادله با شرایط اولیه

$$\begin{cases} COD = COD_0 & t = 0 \\ COD = COD(t) & t \end{cases}$$

راهیش موقتی COD در این رژیم عملیاتی به دست می‌آید

$$COD(t) = COD_0 \left(1 - \frac{\alpha Ak_m}{V_R} t \right) \quad (14)$$

که در این روابط

COD_0 مقدار اولیه COD بر حسب مول بر مترمکعب، k_m ضریب انتقال جرم بر حسب متر بر ثانیه، A سطح الکترود بر حسب مترمربع و V_R حجم الکتروولیت بر حسب مترمکعب است.

رابطه بر حسب شارژ الکتریکی ویژه $Q \left(\frac{As}{m^3} \right)$ به صورت زیر است

$$Q = \frac{iAt}{V_R} \Rightarrow t = \frac{QV_R}{iA} \quad (15)$$

$$COD(Q) = COD_0 \left(1 - \frac{k_m}{i_{lim}^{\circ}} Q \right) \quad (16)$$

روندهای خطی COD با زمان، تا زمان بحرانی (t_{cr}) که میزان تبدیل بحرانی (X_{cr}) را می‌دهد، همچنان باقی می‌ماند. زمان بحرانی زمانی است که دانسیته جریان عملی با دانسیته جریان حدی برابر می‌شود.

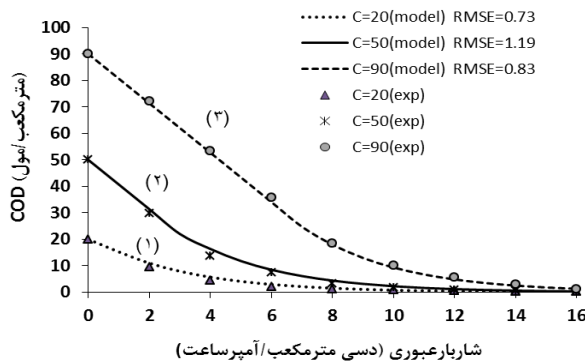
$$X_{cr} = 1 - \alpha \quad (17)$$

$$\frac{COD_0 - COD_{cr}}{COD_0} = 1 - \alpha \rightarrow COD_0 - COD_0(1 - \alpha)$$

$$= COD_{cr} \rightarrow COD_{cr} = \alpha COD_0 = \frac{i}{4fk_m}$$

سانتی متر مربع و غلظت‌های اولیه‌ی ۲۰ تا ۹۰ مول بر مترمکعب انجام داده‌اند $(k_m = 2/73 \times 10^{-5} \text{ m/s})$.

شکل ۱ تأثیر غلظت اولیه را روی روند COD طی اکسایش، نشان می‌دهد. همان‌طور که انتظار می‌رود با افزایش غلظت اولیه سرعت حذف کاهش می‌یابد. دیده می‌شود که در شروع اکسایش با غلظت ۹۰ مول بر مترمکعب، COD به صورت خطی با شارژ بار الکتریکی کاهش می‌یابد. به نوعی می‌توان گفت سرعت اکسایش توسط سینتیک درجه صفر توضیح داده می‌شود که مطابق مدل با این شرایط، اکسایش فنل تحت کنترل جریان است ($i_{lim} > i$). بر عکس در غلظت پایین (۲۰ مول بر مترمکعب) COD به صورت نمایی کاهش می‌یابد که توسط واکنش درجه اول بیان می‌گردد و محدودیتهای انتقال جرم ترکیبات آلی به سطح آند را بازگو می‌کند. در این شرایط نیز مطابق مدل، اکسایش تحت کنترل انتقال جرم است ($i_{lim} < i$). ریشهٔ متوسط مربعات خطا (RMSE) برای نتایج مدل‌سازی و نتایج آزمایشگاهی COD بین ۰/۷۳-۱/۱۹ و ضریب تعیین (R^2) بین ۰/۹۸۲۳-۰/۹۹۷۱ محاسبه شده‌اند که در جدول ۱ مشاهده می‌گردد. پس مدل می‌تواند به طور رضایت‌بخشی داده‌های آزمایشی را در همه غلظت‌های مورد بررسی پیش‌گویی کند.



شکل ۱- تأثیر غلظت اولیه فنل بر میزان حذف COD: ۱- ۲۰ مول بر مترمکعب، ۲- ۵۰ مول بر مترمکعب و ۳- ۹۰ مول بر مترمکعب در جریان ۳۰ میلی‌آمپر بر سانتی متر مکعب (نقاط: داده‌های آزمایشگاهی و خطوط: پیش‌بینی مدل [۱۵])

جدول ۱- مقایسه ضریب تعیین و ریشهٔ متوسط مربعات خطا در شرایط آزمایشگاهی شماره (۱) و غلظت‌های اولیه مختلف

غلظت‌های اولیه مختلف	ضریب همبستگی (R^2)	ریشهٔ متوسط مربعات خطا (RMSE)
۹۰	۰/۹۹۳۱	۰/۸۳
۵۰	۰/۹۹۷۱	۱/۱۹
۲۰	۰/۹۸۲۳	۰/۷۳

که در این رابطه t زمان اکسایش بر حسب ساعت، V_C پتانسیل سل بر حسب ولت، I شدت جریان بر حسب آمپر، V_R حجم الکترولیت بر حسب لیتر و ΔCOD تغییرات COD بر حسب میلی‌گرم در لیتر است.

۳- نتایج و بحث

۱- اعتبارسنجی مدل

در این بخش برای ارزیابی عملکرد مدل، روابط با چندین نتایج آزمایشگاهی که از اکسایش فنل در شرایط گالوانواستاتیک، در سل الکترولیتیکی ناپیوسته به دست آمده است، اعتبارسنجی شدند.

در این تحقیق روابط مدل از طریق کدنویسی با استفاده از نرم افزار مطلب حل شدند. حل عددی معادلات نهایتاً منحنی‌هایی از روند تغییرات COD با زمان را به دست داد که با نتایج تجربی مورد مقایسه قرار گرفت.

پارامترهای آماری از قبیل ریشهٔ متوسط مربعات خطا (RMSE) و ضریب تعیین (R^2) وجود دارند که از آنها برای مقایسه بین داده‌های تجربی و داده‌های پیش‌بینی شده توسط مدل استفاده می‌شود. بهترین مدل با بالاترین مقدار (R^2 نزدیک به یک) و پایین‌ترین مقدار RMSE انتخاب می‌شود.

میزان خطای حاصل از داده‌های آزمایشگاهی و مدل از رابطه RMSE محاسبه می‌گردد

$$RMSE = \sqrt{\frac{\sum (y_i - \hat{y}_i)^2}{n}} \quad (25)$$

که در این رابطه y_i داده آزمایشگاهی، \hat{y}_i آنچه از مدل و معادلات به دست می‌آید و n تعداد داده‌های آزمایشگاهی است.

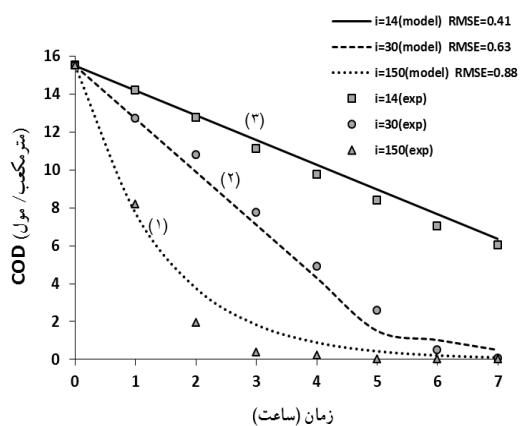
ضریب تعیین نیز شاخصی است که به منظور تعیین میزان انطباق و پراکندگی داده‌های مختلف به کار می‌رود.

در این تحقیق نیز مقایسه نتایج پیش‌بینی شده توسط مدل با نتایج تجربی با استفاده از معیارهای آماری از قبیل ضریب تعیین و ریشهٔ متوسط مربعات خطا صورت گرفت که نتایج این ارزیابی در شرایط مختلف آزمایشگاهی در جدولهای ۱ تا ۳ آورده شده است.

۱-۱-۳- مقایسه با داده‌های آزمایشگاهی شماره (۱) [۱۲]

پانیزا و همکاران، فرایند اکسایش آندی را در یک راکتور ناپیوسته با مساحت الکترولیت ۵۰ سانتی متر مربع و حجم الکترولیت ۵۰۰ میلی‌متر، تحت دانسیته جریان‌های مختلف ۱۵ تا ۶۰ میلی‌آمپر بر

عملیاتی مختلف، اکسایش در دانسیته جریان‌های مختلف $(1/4-15 \text{ mAc}^{-2})$ انجام شد. شکل ۳ تغییرات COD را بر حسب زمان نشان می‌دهد. در دانسیته جریان پایین یعنی $1/4$ میلی آمپر بر سانتی‌مترمربع، مقادیر COD کاهش خطی را با زمان نشان می‌دهد (منحنی ۳ شکل ۳) که کنترل جریان را بازگو می‌کند ($i < i_{lim}$). در رژیم عملیاتی ترکیبی (کنترل جریان – انتقال جرم) (منحنی ۲ در شکل ۳) همان‌گونه که دیده می‌شود در ابتدای واکنش COD به شکل خطی تغییر می‌کند و بعد از زمان بحرانی، COD به صورت نمایی تغییر می‌کند. این امر نشان می‌دهد که سرعت رژیم حذف COD، از کنترل جریان به کنترل نفوذ تغییر می‌یابد. منحنی ۱ در شکل ۳ کنترل خالص انتقال جرم را نشان می‌دهد که در این حالت نیز COD به صورت نمایی کاهش می‌یابد. در این نمونه هم توافق مناسبی بین مقادیر محاسبه شده از مدل و داده‌های آزمایشگاهی با ریشه متوسط مربعات خطای $0/41 < RMSE < 0/88$ و ضرایب تعیین $0/949 < R^2 < 0/9978$ برای COD در همه شرایط مورد بررسی به دست آمده است که مقادیر آنها در جدول ۳ آورده شده است.

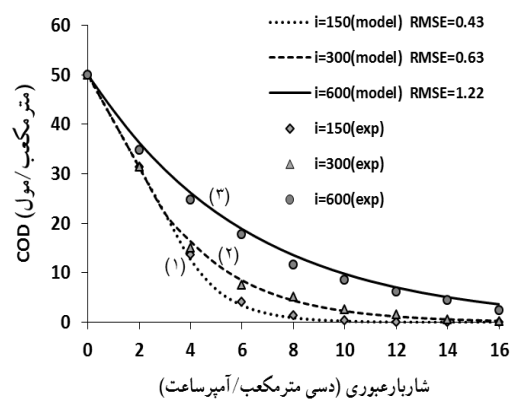


شکل ۳- تأثیر دانسیته جریان روی میزان حذف COD : ۱- $i = 14 \text{ Am}^{-2}$ ، ۲- $i = 30 \text{ Am}^{-2}$ ، ۳- $i = 150 \text{ Am}^{-2}$. (نقاط: داده‌های آزمایشگاهی و خطوط: پیش‌بینی مدل [۱۶])

جدول ۳- مقایسه ضریب تعیین و ریشه متوسط مربعات خطای آزمایشگاهی شماره (۲) [۱۶]

دانسیته جریان‌های مختلف (Am^{-2})	ضریب تعیین (R^2)	ریشه متوسط مربعات خطای (RMSE)
۱۴	۰/۹۹۷۸	۰/۴۳
۳۰	۰/۹۹۲	۰/۶۳
۱۵۰	۰/۹۹۹۷	۱/۲۲

شکل ۲ تأثیر دانسیته جریان آندی را روی نحوه تغییرات COD در طول اکسایش ۵۰ مول بر مترمکعب در 30°C درجه سلسیوس نشان می‌دهد. واضح است که در دانسیته جریان‌های بالا، سرعت حذف افزایش می‌یابد. براساس مدل پیشنهادی در ($i < i_{lim}$)، COD روند خطی و برای ($i > i_{lim}$) روند نمایی را نشان می‌دهد.



شکل ۲- تأثیر دانسیته جریان روی میزان حذف COD : ۱- $i = 600 \text{ Am}^{-2}$ ، ۲- $i = 300 \text{ Am}^{-2}$ ، ۳- $i = 150 \text{ Am}^{-2}$. (نقاط: داده‌های آزمایشگاهی و خطوط: پیش‌بینی مدل [۱۶])

همان‌گونه که جدول ۲ نشان می‌دهد با توجه به مقادیر ریشه متوسط مربعات خطای $0/43 < RMSE < 1/22$ و ضرایب تعیین $0/9997 < R^2 < 0/9908$ برای COD، مدل تطابق خوبی با نتایج تجربی برای همه دانسیته جریان‌های به کار گرفته شده در دمای 30°C درجه سلسیوس دارد.

جدول ۲- مقایسه ضریب تعیین و ریشه متوسط مربعات خطای در شرایط آزمایشگاهی شماره (۱) و دانسیته جریان‌های مختلف

دانسیته جریان‌های مختلف (Am^{-2})	ضریب تعیین (R^2)	ریشه متوسط مربعات خطای (RMSE)
۱۵۰	۰/۹۹۹۷	۰/۴۳
۳۰۰	۰/۹۹۰۸	۰/۶۳
۶۰۰	۰/۹۹۵۳	۱/۲۲

۱-۳- ۲- مقایسه با داده‌های آزمایشگاهی شماره (۲) [۱۶] کاپالکا و همکاران^۱، با استفاده از آند BDD با مساحت سطح سانتی‌متر مربع و حجم الکتروولیت $5/5 \text{ dm}^3$ در دمای 25°C درجه سلسیوس آزمایش‌هایی را انجام داده‌اند. ضریب انتقال جرم در راکتور $10 \times 2 \text{ متر بر ثانیه}$ بوده است. برای مطالعه رژیم‌های

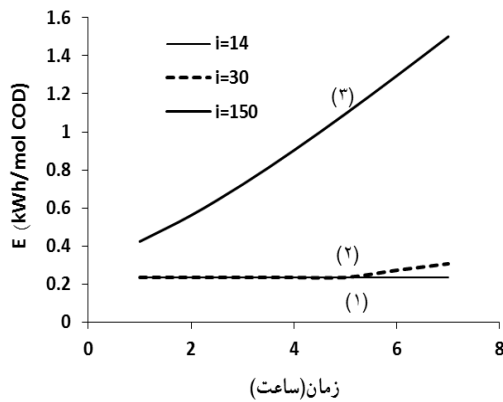
¹ Kapalka et al.

نظر گرفته می‌شود. مثل این‌که واکنش جانبی انجام نمی‌گیرد و این‌گونه فرض می‌شود که جریان مورد استفاده فقط در واکنش اصلی مصرف می‌گردد.

۱-۴-۳- صحبت‌سنگی مصرف ویژه انرژی

برای ارزیابی معادله میزان مصرف انرژی، تأثیر پارامترهای موجود در معادله مورد بررسی قرار گرفت.

شکل ۵ نحوه مصرف ویژه انرژی را بر حسب تابعی از زمان برای دانسیته جریان‌های مختلف نشان می‌دهد. همان‌گونه که دیده می‌شود، مصرف انرژی با زمان تا لحظه بحرانی ثابت می‌ماند و سپس به خاطر محدودیت انتقال جرم افزایش می‌یابد. همچنین مصرف انرژی با افزایش دانسیته جریان به خاطر افزایش در واکنش ثانویه زیاد می‌شود (شرایط عملیاتی مطابق آزمایش (۲) می‌باشد) [۱۸].



شکل ۵- تأثیر دانسیته جریان روی میزان مصرف انرژی:

$$1-18 \quad i = 14 A m^{-2}, \quad i = 30 A m^{-2}, \quad i = 150 A m^{-2}$$

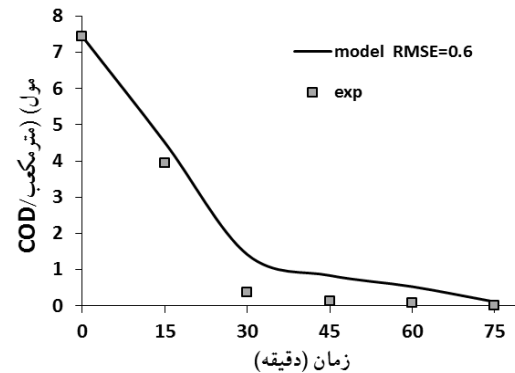
علاوه بر این مصرف انرژی به عوامل دیگری نظیر غلظت الکتروولیت پشتیبان، پتانسیل عملی و غلظت آلاینده بستگی دارد: در غلظتهای پایین الکتروولیت پشتیبان، ولتاژ بالاتر برای واکنش الکتروشیمیایی، برای رسیدن به دانسیته جریان مورد نظر نیاز است که این مشکل را می‌توان با استفاده از الکتروولیت پشتیبان حل کرد و می‌توان گفت افزایش غلظت الکتروولیت پشتیبان باعث افزایش انتقال جرم و کاهش مصرف انرژی می‌گردد.

همان‌گونه که در شکل‌های ۶ و ۷ دیده می‌شود مصرف انرژی با افزایش پتانسیل عملی، همان‌طور که انتظار می‌رود، افزایش می‌یابد (در شرایط آزمایش دوم با دانسیته جریان ۵۰ آمپر بر مترمربع). با این وجود اگر غلظت اولیه آلاینده پایین باشد، مصرف انرژی نیز کمتر است (مطابق شرایط آزمایش دوم با دانسیته جریان ۱۵۰ آمپر بر مترمربع و پتانسیل آندی ۲/۲ ولت) [۱۸].

۱-۳-۳- مقایسه با داده‌های آزمایشگاهی شماره (۳) [۱۷]

در بررسی دیگر، اکسایش الکتروشیمیایی فنل در راکتور ناپیوسته، با استفاده از آند پلاتین با مساحت ۱۶ سانتی‌متر مربع و حجم الکتروولیت ۲۵۰ میلی‌لیتر، تحت جریان ۲/۸۵ آمپر و با غلظت $k_m = 1.7 \times 10^{-5} \text{ mol}/\text{s}$ می‌باشد ۱۰۰ میلی‌گرم در لیتر از فنل با مورد بررسی قرار گرفت.

شکل ۴ تغییرات COD را با زمان تحت شرایط بهینه نشان می‌دهد. همان‌طور که مشاهده می‌شود COD در ابتدای واکنش به صورت خطی ($i_{im}^1 > i$) و سپس به صورت نمایی ($i > i_{im}^2$) کاهش می‌یابد. از آن‌چه گفته شد، می‌توان نتیجه گرفت فرایند در این شرایط، تحت کنترل ترکیبی جریان و نفوذ است.



شکل ۴- تغییرات COD با زمان در شرایط بهینه (نقاط: داده‌ای آزمایشگاهی و خطوط: پیش‌بینی مدل) [۱۷]

با توجه به ریشه متوسط مربعات خطای بین نتایج تجربی و تئوری برای COD (RMSE = ۰/۶) و ضریب تعیین $R^2 = ۹۱/۴۵$ ، می‌توان گفت که مدل ارائه شده می‌تواند به طور رضایت‌بخشی شرایط سیستم را پیش‌گویی کند.

در همه موارد دیده شده است که همواره تفاوت بین مقادیر مدل و تجربی وجود دارد که می‌تواند به دلایل زیر باشد:

۱- مدل تنها واکنش‌هایی را که با OH^\bullet نزدیک سطح آند رخ می‌دهد، در نظر می‌گیرد در حالی که سهم واکنش‌های اکسایش توسط اجزای اکسیده در بالک مایع در نظر گرفته نمی‌شود.

۲- در مدل واکنش کامل به CO_2 در نظر گرفته شده است با فرض این‌که واکنش جانبی وجود ندارد در حالی که ممکن است در واقعیت این‌گونه نباشد و مقداری فنل از مسیرهای دیگر حذف گردد.

۳- ممکن است محصولات دیگری علاوه بر CO_2 تشکیل شوند که این محصولات هم بخش مهمی از COD کلی را سهیم شوند که در مدل لحاظ نشده است.

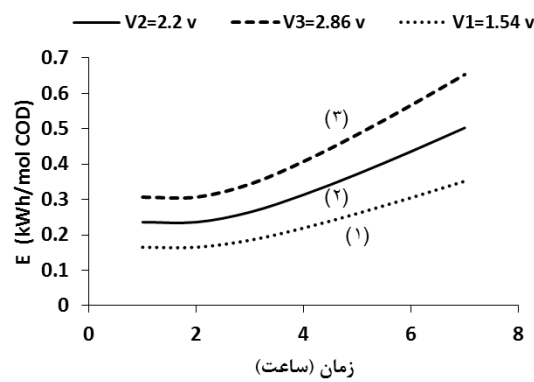
۴- در کل می‌توان این‌گونه تفسیر کرد که از آنجایی که معادلات بر اساس قانون فارادی نوشته شده است پس تنها واکنش‌های اصلی در

۴- نتیجه‌گیری

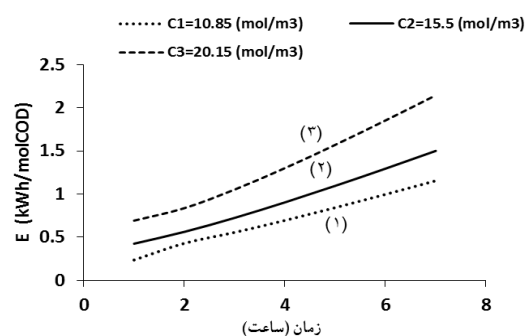
نتایج این مطالعه نشان می‌دهد که افزایش دانسیته جریان (به علت افزایش سرعت تولید رادیکال‌های هیدروکسیل) و کاهش غلظت اولیه، منجر به افزایش سرعت واکنش می‌شود. در بررسی میزان مصرف انرژی این گونه نتیجه‌گیری می‌شود که با افزایش پتانسیل عملی و به تناسب آن افزایش جریان، میزان مصرف انرژی بالا می‌رود و کاهش غلظت اولیه، مصرف کمتری از انرژی را به همراه دارد. بنابراین شرایط عملیاتی باید در جهت بهینه‌سازی سیستم به‌گونه‌ای انتخاب شود که منجر به سرعت حذف بالا و مصرف پایین انرژی شود. به عنوان یک نتیجه‌گیری کلی می‌توان گفت با توجه به این که شرایط بهینه از اکسایش‌های انجام شده در فرایندهای بدون محدودیتهای انتقال جرم به دست آمده است، بنابراین برای انجام فرایند تصفیه با عملکرد و بازدهی بالا، کار کردن تحت شرایط عملیاتی کنترل شده، به‌گونه‌ای که جریان همواره پایین‌تر از شرایط حدی قرار گیرد، مناسب‌تر است. همچنین نتایج نشان داد که همبستگی بالا و توافق مناسبی بین مقادیر پیش‌بینی شده توسط مدل و مقادیر آزمایشی وجود دارد.

۵- قدردانی

نویسندهان مقاله از حمایتهای شرکت آب و فاضلاب استان تهران تشکر و قدردانی می‌نمایند.



شکل ۶- تأثیر پتانسیل عملی روی میزان مصرف انرژی:
[۱۸] . $V = 2/86V - ۳$ ، $V = 2/2V - ۲$ ، $V = 1/54V - ۱$



شکل ۷- تأثیر غلظت اولیه روی میزان مصرف انرژی:
[۱۸] . $C_0 = 15/5\text{molm}^{-3} - ۲$ ، $C_0 = 10/85\text{molm}^{-3} - ۱$
 $C_0 = 20/15\text{molm}^{-3} - ۳$

۶- مراجع

- 1- Ma, H., Zhang, X., Ma, Q., and Wang, B. (2009). "Electrochemical catalytic treatment of phenol wastewater." *J. of Hazardous Materials*, 165 (1-3), 475-480.
- 2- Velegaki, T., Balayannis, G., Diamadopoulos, E., Katsounis, A., and Mantzavions, D. (2010). "Electrochemical oxidation of benzoic acid in water over boron-doped diamond electrodes: Statistical analysis of key operating parameters, kinetic modeling, reaction by-products and ecotoxicity." *Chemical Engineering Journal*, 160(2), 538-548.
- 3- Canizares, P., Garcia-Gomez, S., Lobato, J., and Rodrigo, M. A. (2004). "Modeling of wastewater electro-oxidation processes partI.General description and application to inactive electrodes." *Applied Chemistry*, 43, 1915-1922.
- 4- Polcaro, A.M., Palmas, S., Renoldi, F., and Mascia, M. (1999). "On the performance of Ti/SnO₂ and Ti/PbO₂ anodes in electrochemical degradation of 2-chlorophenol for wastewater treatment." *J. of Applied Electrochemistry*, 29, 147-151.
- 5- Canizares, P., Dominguez, J. A., Rodrigo, M. A., Villaenor, J., and Rodriguez, J. (1999). "Effect of the current intensity in the electrochemical oxidation of aqueous phenol wastes at an activated carbon and steel anode." *American Chemical Society*, 38, 3779-3785.

- 6- Panizza, M., Michaud, P.A., Cerisola, G., and Comniellis, Ch. (2001). "Electrochemical treatment of wastewaters containing organic pollutants on boron-doped diamond electrodes: Prediction of specific energy consumption and required electrode area." *Electrochemistry Communications* 3, 336-339.
- 7- PCanizares, P., Garcia-Gomez, J., Lobato, J., and Rodrigo, M.A. (2004). "Modeling of wastewater electro-oxidation processes partII. Application to active electrodes." *Applied Chemistry*, 43, 1923-1931.
- 8- Mascia, M., Vacca, A., Palmas, S., and Plcaro, A.M. (2007). "Kinetics of the electrochemical oxidation of organic compounds at BDD anodes: Modeling of surface reactions." *J. of Applied Electrochemistry*, 37, 71-76.
- 9- Jamshidi, N., Torabian, A., Azimi, A.A., Nabi Bidhendi, Gh., and Jafarzadeh, M. T. (2009). "Investigation of phenol removal in aqueous solutions using advanced photochemical oxidation (APO)." *J. of Water and Wastewater*, 72, 24-29. (In Persian)
- 10- Alemzadeh, I., Nejati, S., and Motamed, S. (2010). "Phenol removal by immobilized horseradish peroxidase." *J. of Water and Wastewater*, 74, 2-9. (In Persian)
- 11- Malakootian, M., and Asodi, M. (2011). "Efficiency of fenton oxidation process in removal of phenol in aqueous solutions." *J. of Water and Wastewater*, 79, 45-52. (In Persian)
- 12- Christos Comninellis, Ch. (2006). "Electrode material for the electrochemical oxidation of organic pollutants for wastewater treatment." *4th European Summer School on Electrochemical Engineering*, ESSEE 4, Palić, Serbia and Montenegro.
- 13- Panizza, M., and Cerisola, G. (2009). "Direct and mediated anodic oxidation of organic pollutants." *Chemical Reviews*, 109, 6541-6569.
- 14- Rajkumar, D., Kim, J.G., and Palanivelu, K. (2005). "Indirect electrochemical oxidation of phenol in the presence of chloride for wastewater treatment." *Chemical Engineering Technology*, 28, 98-105.
- 15- Panizza, M., Michaud, P.A., Cerisola, G., and Comninellis, Ch. (2001). "Anodic oxidation of 2-naphthol at boron-doped diamond electrodes." *J. of Electroanalytical Chemistry*, 507, 206-214.
- 16- Kapalka, A., Gyorgy, F., and Christos, C. (2007). "Investigations of electrochemical oxygen transfer reaction on boron-doped diamond electrodes." *Electrochimica Acta*, 53, 1954-1961.
- 17- Mollaei, M., and Rowshanzamir, S. (2011). "Experimental investigation of electrochemical oxidation of phenol for wastewater treatment." M.Sc. Thesis, Green Research Center, Iran University of Science and Technology, Tehran, Iran. (In Persian)
- 18- Khabazi, N., and Rowshanzamir, S. (2011). "Modeling of electrochemical oxidation of phenol for wastewater treatment." M.Sc. Thesis, Green Research Center, Iran University of Science and Technology, Tehran, Iran. (In Persian)